

ダスト 粒子間接触相互作用：接線応力

④ 前回やったこと：法線応力



はね返すか < , > か

$$F_{\text{stick}} = 0.09 F_c \delta_c$$

$$F_{\text{stick}} (\text{音波}) = 0.4 F_c \delta_c$$

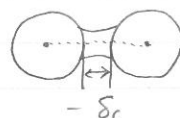


ひきはがすのに必要なエネルギー -

$$E_{\text{break}} = 1.54 F_c \delta_c$$

$$E_{\text{break}} (\text{音波}) = 1.8 F_c \delta_c$$

$$\left\{ \begin{array}{l} F_c : \text{ひきはがすのに必要な力} \\ \delta_c : \text{切れる瞬間} \end{array} \right.$$



$$F_c = 3\pi \gamma R$$

$$\delta_c = \frac{1}{2} \frac{a_0^2}{6^{\frac{1}{3}} R}$$

$$a_0 : <\!\! \text{つ}\!\!> ついている平衡状態での接触面半径$$



$$a_0 = \left(\frac{9\pi \gamma R^2}{E^*} \right)^{\frac{1}{3}}$$

$$R : 2つのエママー半径 R_1, R_2 の換算半径$$

$$R = \frac{R_1 R_2}{R_1 + R_2}$$

$$E^* : 2つのエママーのヤング率 E_1, E_2 とポアソン比 \nu_1, \nu_2 を用いて$$

$$E^* = \left[\frac{(1-\nu_1)^2}{E_1} + \frac{(1-\nu_2)^2}{E_2} \right]^{-1}$$

$$\gamma : \text{単位表面積あたりのエネルギー} - \gamma_1, \gamma_2 を用いて \gamma = \sqrt{\gamma_1 \gamma_2}$$

H_2O 氷のとき（音波なし）

$$\left\{ \begin{array}{l} v_{\text{stick}} \sim 2 \times \left(\frac{R_1}{0.1 \mu\text{m}} \right)^{-\frac{5}{6}} [\text{m/s}] \\ v_{\text{break}} \sim 6 \times \left(\frac{R_1}{0.1 \mu\text{m}} \right)^{-\frac{5}{6}} [\text{m/s}] \end{array} \right.$$

$$(v \propto \gamma^{\frac{5}{6}} R_1^{-\frac{5}{6}} E^*^{-\frac{1}{3}} \rho^{-\frac{1}{2}}) \quad \rho : \text{物質密度}$$

① 接線応力

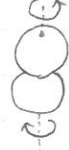
Rolling (回転)



Sliding (滑り)



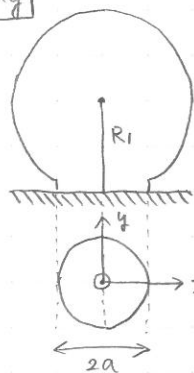
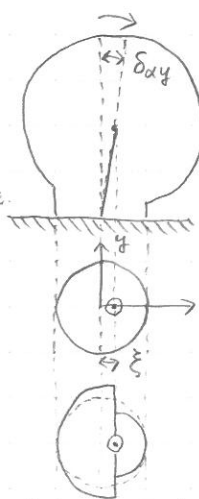
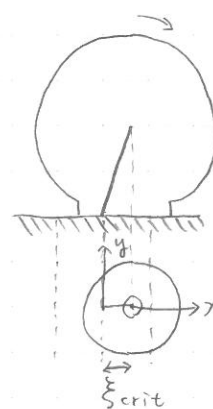
Twisting (よじれ)



Rolling

横から

上から

接触面
乙のまま
 $\Rightarrow \xi < \xi_{crit}$ 接触面
再構成
 $\Rightarrow \xi \rightarrow \xi_{crit}$ (図14
Dominik &
Tielens (1995))対称的な
圧力分布非対称的な
圧力分布
戻るとする (\leftarrow 向き)
トルクを受ける対称的な
圧力分布
トルクが消え
弾性エネルギーが散逸
(転がり摩擦)

$$\xi < \xi_{crit} \text{ のとき } \xi = R_1 \delta_{xy}$$

$$\text{回転方向と逆向的なトルク } M = 4F_c \left(\frac{a}{a_0} \right)^{\frac{3}{2}} \xi \sim 4F_c \xi$$

 $\xi \rightarrow \xi_{crit}$ のとき 転がり始める

$$\text{そのために必要なトルク } M_{y,crit} = 4F_c \left(\frac{a}{a_0} \right)^{\frac{3}{2}} \xi_{crit} \sim 4F_c \xi_{crit}$$

$$\text{ここで蓄積した弾性エネルギー} - e_{roll} = M_{y,crit} \cdot \frac{\xi_{crit}}{R_1} = \frac{4F_c \xi_{crit}^2}{R_1}$$

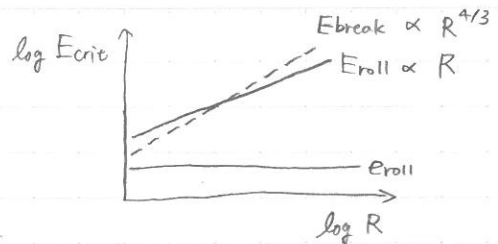
$$R_1 = 2R \text{ のとき } e_{roll} = \frac{2F_c \xi_{crit}^2}{R} = 6\pi \gamma R \xi_{crit}^2$$

$$90^\circ \text{ 転がるのに必要なエネルギー} - E_{roll} = e_{roll} \frac{\pi R}{\xi_{crit}} = 6\pi^2 \gamma R \xi_{crit}$$

ξ は原子スケールなので $\xi_{\text{crit}} \sim 1 \text{ Å}$
 $E_{\text{roll}} \ll E_{\text{break}}$: 粒子接触を断ち切る
 ことなく回転し始めるのは容易

$E_{\text{roll}} \sim E_{\text{break}}$: 粒子が接触したまま
 目に見えず長い距離転がるのは難しい。

$$\left(\frac{E_{\text{roll}}}{E_{\text{break}}} \sim \frac{\xi_{\text{crit}}}{\delta_c} \sim 1 \right)$$



Domink & Tielens (1997) より

Sliding 初めは弾性的にころまる \Rightarrow 力が閾値に達すると不可逆的に動く

まだ滑らないうちは摩擦力 $F_x = -8aG^* \delta_x$

δ_x : 接線方向変位

$$G^* = \left[\frac{2-\mu_1}{G_1} + \frac{2-\mu_2}{G_2} \right]^{-1}$$

G_1, G_2 : せん断弾性率 \rightarrow 5/29の参考資料(ランダウツフシツ) P59

$$G_1 = \frac{E_1}{2(1+\mu_1)}$$

$$\begin{array}{c} \Delta x \\ \leftarrow F \quad A \quad \rightarrow F \\ l \end{array} \quad G_1 = \frac{F/A}{\Delta x/l} = \frac{Fl}{A\Delta x}$$

閾値 F_{fric} : 原子スケールの段差による摩擦力と、物質表面の原子間相互作用による平均力摩擦力

$$F_{\text{fric}} = \frac{Ga^2}{2\pi} + \begin{cases} 0 & (\text{シリケイト, グラファイト...}) \\ \frac{1}{3}F - \frac{\pi a^2}{3}P_{\text{crit}} & (\text{氷, 金属...}) \end{cases}$$

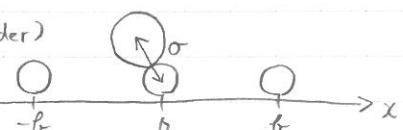
$$P_{\text{crit}} = \frac{2.67}{\pi} \frac{f^3}{a^3} G - \frac{24.72}{\pi} \frac{f^4}{a^5} \gamma$$

(F : 法線方向の力)

$$G = [G_1^{-1} + G_2^{-1}]^{-1}$$

P_{crit} : 臨界圧力(物質による)

B (slider)



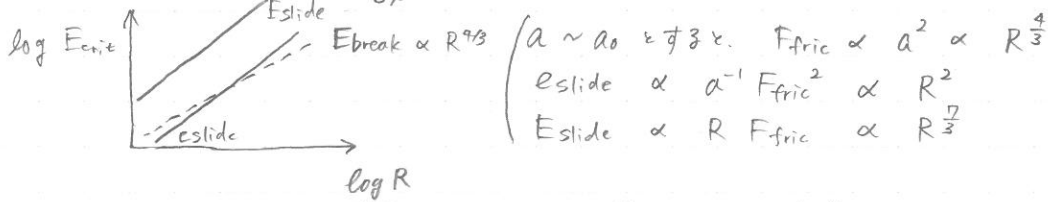
$F_x = F_{\text{fric}}$ となるときの変位を δ_x^c とすると、(シリケートやグラファイトで $\delta_x^c \approx 0.03a$) δ_x^c を越えると滑る。

滑り始めるのに必要な最低エネルギーは

$$E_{\text{slide}} = \frac{1}{2} S_x^c F_{\text{fric}} = \frac{1}{16aG^*} F_{\text{fric}}^2 = 4aG^* \delta_x^{c2}$$

十分な距離 (πR) 滑るために必要なエネルギー

$$E_{\text{slide}} = e_{\text{slide}} \frac{\pi R}{\delta_x^c} = \frac{1}{2} \pi R F_{\text{fric}} = 4 \pi R a G * \delta_x^c$$



$E_{\text{slide}} \approx E_{\text{break}}$: 接触を保ったまま滑り始めるのも難しい。

$E_{\text{slide}} \gg E_{\text{break}}$: 滑りによる構造変化も難しい

Twisting

また"滑らない" (よじれない) うちには 抵抗モーメント M_z

$$M_z = -\frac{16}{3} G a^3 \delta_{xz}$$

δ_{xz} : よじれ角

閾値 M_z^{slide} : Sliding と同じように考えられる

$$M_z^{\text{slide}} = \frac{G a^3}{3\pi} + \left\{ \begin{array}{l} 0 \\ \frac{1}{3} F_c a_0 \left[\frac{3}{4} \left(\frac{a}{a_0} \right)^4 - \left(\frac{a}{a_0} \right)^{\frac{5}{2}} \right] - \frac{2}{9} \pi a^3 \text{Parit} \end{array} \right. \quad (\text{シケイト} \dots) \\ (\text{sk} \dots)$$

$M_z = M_z^{\text{slide}}$ となるときのよじれ角を δ_{xz}^c とすると (シケイトなどで $\delta_{xz}^c \approx 1.1^\circ$)

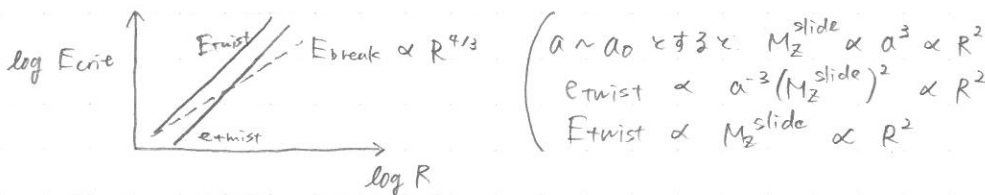
δ_{xz}^c をこえると滑り始め、よじれが生じる。

よじれ始めると必要なエネルギー

$$E_{\text{twist}} = \frac{1}{2} \delta_{xz}^c M_z^{\text{slide}} = \frac{3}{32 G a^3} (M_z^{\text{slide}})^2 = \frac{8}{3} G a^3 \delta_{xz}^{c2}$$

十分な角度 ($\frac{\pi}{2}$) よじれるために必要なエネルギー

$$E_{\text{twist}} = \frac{\pi}{2} M_z^{\text{slide}} = \frac{8}{3} \pi G a^3 \delta_{xz}^c$$



$$\frac{E_{\text{twist}}}{E_{\text{slide}}} = \frac{\frac{\pi}{2} M_z^{\text{slide}}}{\frac{\pi}{2} R F_{\text{fric}}} = \frac{\frac{8}{3} G a^3}{R \frac{9 a^2}{2\pi}} \sim \frac{a}{R}$$

E_{twist} は E_{slide} に比べて一桁程度小さい (同じ 90° 回転でも滑る距離が小さい)
よじれによる構造変化は難しい (滑りよりは容易)